

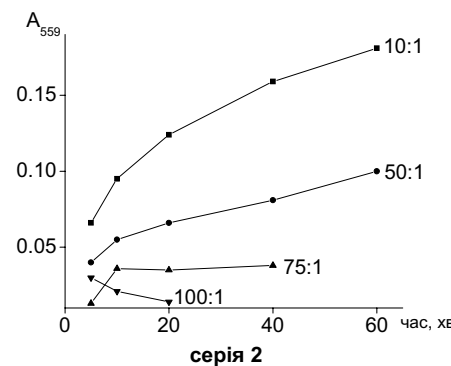
серія 1

Рис. Залежність оптичної густини плівок  $\text{SiO}_2\text{-ПЕ}$ , від часу контакту з  $2,5 \cdot 10^{-4}$  моль/дм<sup>3</sup> водним розчином реагенту №3 (рН 6)

Для плівок  $\text{SiO}_2\text{-ПЕ}$  з молярним співвідношенням ТЕОС : Tween 20 = 150 : 1, за оптимальних умов закріплення барвників були отримані ізотерми сорбції алкілкарбоксильних та діоксіазафосфоканових похідних ціанінових барвників (реагенти №2 та 3). Ізотерми сорбції можуть бути віднесені до  $S_3$  – типу, максимальна ємність плівки  $\text{SiO}_2\text{-ПЕ}$  за моношарами досліджених реагентів наведена у таблиці. Ємність плівки  $\text{SiO}_2\text{-ПЕ}$  за реагентом №2 є більшою, ніж за реагентом №3, що можна пояснити суттєвими відмінностями у розмірах молекул барвників – алкілкарбоксильний фрагмент є менш об'ємним за діоксіазафосфокановий. В той же час інтенсивне вимивання реагенту №2 з плівки обмежує його подальше застосування.

Досліджені взаємодія одержаних плівок  $\text{SiO}_2\text{-ПЕ}$ -барвник з іонами  $\text{Ca}^{2+}$  та іншими лужно-земельними металами. У спектрі поглинання реагенту №3 на поверхні  $\text{SiO}_2\text{-ПЕ}$  після контакту з водним розчином  $\text{Ca}^{2+}$  при pH 6 спостерігається незначне підвищення оптичної густини та батохромний зсув максимуму на 3 нм, що співпадає з літературними даними для водно-ацетонітрильних розчинів комплексу даного ціанінового барвника з Кальцієм [10]. Аналогічні зміни в спектрі поглинання барвника на поверхні  $\text{SiO}_2\text{-ПЕ}$  спостерігаються для іонів  $\text{Mg}^{2+}$  та  $\text{Ba}^{2+}$ . Отже, синтезовані покриття  $\text{SiO}_2\text{-ПЕ}$ -реагент №3 можуть бути використані для визначення  $\text{Ca}^{2+}$ ,  $\text{Mg}^{2+}$  та  $\text{Ba}^{2+}$ . Помітне зростання люмінісценсції одержаних плівок після контакту зі зазначеними металами при їх опроміненні ртутною лампою свідчить про перспективність застосування методу люмінісценції для подальших досліджень.

**Висновки.** Таким чином, були оптимізовані умови синтезу плівок на основі  $\text{SiO}_2$ , НПАР Tween20 та поліелектролітів-катіонообмінників і показана принципова можливість модифікації їх поверхні діоксіазафосфокановим похідним барвника ціанінового класу. Закладено



серія 2

подальший напрямок застосування модифікованої плівки для сорбційно-спектроскопічного визначення іонів Кальцію та інших лужно-земельних металів.

"Дослідження виконані в рамках МНДО "Франко-Французьке об'єднання в галузі молекулярної Хімії".

- Березов, Т.Т., Коровкин, Б.Ф. Биологическая химия. – М., 1998.
- Коган, И.М. Химия красителей. – М., 1956.
- Наджафова, О. Ю., Дроздова, М. В., Чурилова, И. В. Влияние поверхностно-активных веществ на сорбционные свойства композитных пленок на основе оксида силиция и органического катионообменника, полученных по золь-гель технологии // Укр. хим. журн. - 2007. - Т. 73, №4. - С. 98-102.
- Brinker, C.I., Scherer, G.W. Sol-gel science: the physics and chemistry of sol-gel processing. – San Diego Academic Press, 1990.
- Citterio, D., Omagari, M., et al. Chromogenic betaine lariats for highly selective Calcium ion sensing in aqueous environment // Anal. Chem. Acta. - 2004. - Vol. 504. - P. 227-234.
- Easwaran Arunkumar, Forbes, Ch. C., Smith, B.D. Improving the properties of organic dyes by molecular encapsulation // Eur.J.Org.Chem. - 2005. - P. 4051-4059.
- Jerónimo, P.C.A., Araújo, A.N., et al. Optical sensors and biosensors based on sol-gel films // Talanta. - 2007, №72. - P. 13-27.
- Jin, Ji, Rozenweig, Z. Fiber optic pH/Ca<sup>2+</sup> fluorescence microsensor based on spectral processing of sensing signals // Anal. Chem. Acta - 1999. - Vol. 397. - P. 93-102.
- Liqiu Wang, Xiaojun Peng, et al. New near-infrared indocyanines and their spectral properties in  $\text{SiO}_2$  sol-gel // Dyes And Pigments. – 2004. - №61. - P. 103-107.
- Mazieres, M. R., Dupranc, C., et al. Synthesis and characterization of new phosphonate labeled cyanines // Dyes And Pigments. – 2007. - №74. - P. 404-409.
- Mazieres, M. R., Wetz, F., et al. New phosphorus podands labeled by a cyanine probe: synthesis and fluorescence enhancement with cation complexation // Dyes And Pigments. – 2003. - №56. - P. 231-238.
- Raman, N.K., Anderson, M.T., Brinker, C.J. Template-based approaches to the preparation of amorphous, nanoporous silicas // Chem. Mater. - 1996. - Vol. 5. - P. 1682-271.
- Schulz-Ekloff, G., Wöhrl, D., et al. Chromophores in porous silicas and minerals: preparation and optical properties // Micropor. And Mesopor. Mater. – 2002. - №51. - P. 91-138.
- Watanabe, T., Zhou, H.S., et al. Synthesis and nonlinear optical susceptibility of cyanine dye J-aggregate doped silica film // J.Of Sol-Gel Science And Technology. - 2000. - Vol. 19, №1-3. - P. 257-261.
- Williford, R.E., Li, X.S., et al. Mechanical stability of templated mesoporous silica thin films // Micropor. And Mesopor. Mater. – 2005. - №85. - P. 260-266.

Надійшла до редакції 10.02.08

УДК 541.49 + 536-33

В. Семенака, асп., В. Судавцова, д-р хім. наук, В. Кокозей, д-р хім. наук

## ТЕРМІЧНА СТИЙКОСТЬ ГЕТЕРОМЕТАЛІЧНОГО КОМПЛЕКСУ [ $\text{Zn}_2\text{Cr}_2(\text{NCS})_4(\text{Dea})_2(\text{HDea})_2\text{-4DMSO}$ ]

Досліджено термічну стійкість гетерометалічного комплексу [ $\text{Zn}_2\text{Cr}_2(\text{NCS})_4(\text{Dea})_2(\text{HDea})_2\text{-4DMSO}$ ] ( $\text{H}_2\text{Dea}$  = діетаноламін, DMSO = диметилсульфоксид) на повітрі та в атмосфері аргону. Показано, що термоліз на повітрі приводить до утворення суміші  $\text{Cr}_2\text{O}_3$  та  $\text{ZnCr}_2\text{O}_4$ .

The thermal stability of the heterometallic complex [ $\text{Zn}_2\text{Cr}_2(\text{NCS})_4(\text{Dea})_2(\text{HDea})_2\text{-4DMSO}$ ] ( $\text{H}_2\text{Dea}$  = diethanolamine, DMSO = dimethylsulfoxide) in air and under argon atmosphere was studied. The thermolysis in air was shown to result in the formation of the mixture of  $\text{Cr}_2\text{O}_3$  and  $\text{ZnCr}_2\text{O}_4$ .

**Вступ.** Гетерометалічні комплекси (ГМК) все більше привертають увагу своєю поліфункціональністю. Наприклад ГМК  $[\text{Cu}(\text{en})_2\text{ZnCl}_4]\text{-ДМСО}$  проявляє антифіто-вірусні [7] та антимікробні [8], а в полімерних компози-

тах – ще й фотопровідні властивості [2]. Раніше було показано, що шляхом термічного розкладу гетерометалічних комплексів переходних металів можна одержувати високоефективні електрокатализатори відновлення

© Семенака В., Судавцова В., Кокозей В., 2008

кисню для паливних елементів та хімічних джерел струму [5, 4]. Продовжуючи дослідження процесів термолізу ГМК ми вивчали термічну стійкість на повітрі та в атмосфері аргону гетерометалічного комплексу  $[Zn_2Cr_2(NCS)_4(Dea)_2(HDea)_2] \cdot 4\text{ДМСО}$  (HDea та Dea – моно- та дидепротоновані залишки дієтаноламіну, ДМСО = диметилсульфоксид), одержаного за [3].

**Методи дослідження.** Неізотермічний розклад ГМК вивчали на дериватографі Q-1500 в програмованому режимі (швидкість нагрівання  $5^\circ\text{C}/\text{хв.}$ , маса зразку  $\sim 0,1$  г, температурний інтервал  $20$ – $1000^\circ\text{C}$ ). Термоліз в атмосфері інертного газу вивчали на установці кафедри фізичної хімії Київського національного університету імені Тараса Шевченка (швидкість нагрівання  $5^\circ\text{C}/\text{хв.}$ , маса зразку  $\sim 0,02$  г, температурний інтервал  $30$ – $850^\circ\text{C}$ ). Склад газоподібних продуктів термолізу визначали методом термодесорбції з мас-спектрометричним аналізом десорбованих часток (мас-спектрометр МХ-

1302, вакуум  $10^{-6}$  Па, маса зразку  $\sim 1$  мг). Ідентифікацію твердих продуктів піролізу проводили на рентгенівському дифрактометрі ДРОН-3 з використанням Cu-K $\alpha$  випромінювання.

**Результати та їх обговорення.** Процес термолізу ГМК в атмосфері аргону умовно можна поділити на три основні стадії (рис. а). Перша стадія ( $90$ – $190^\circ\text{C}$ ) починається із втрати ДМСО. Це свідчить, що молекули ДМСО некоординовані. В мас-спектрах десорбованих продуктів термолізу присутня одна основна частка  $(CH_3)_2SO^+$ . На другій стадії ( $270$ – $430^\circ\text{C}$ ) відбувається деструкція залишків дієтаноламіну, що супроводжується інтенсивним утворенням часток  $NH_3^+$ ,  $NH_4^+$ ,  $CHN^+$ ,  $CH_2N^+$  та  $C_2H_4O^+$ . Третя стадія ( $430$ – $850^\circ\text{C}$ ) характеризується незначною втратою маси за рахунок відщеплення залишків органічного ліганду та сильним зниженням інтенсивності виділення всіх часток, крім  $CH_2N^+$ .

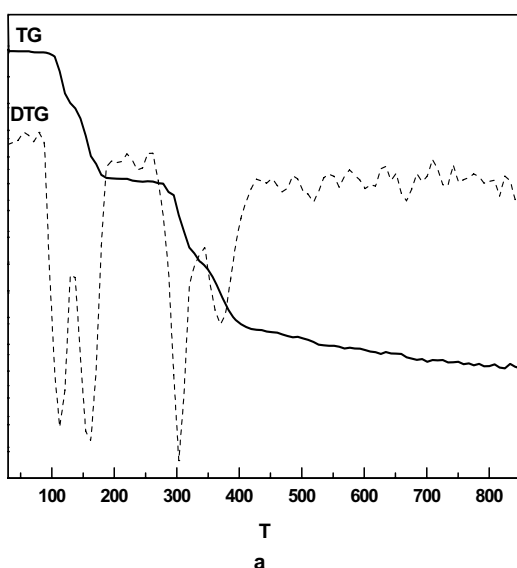
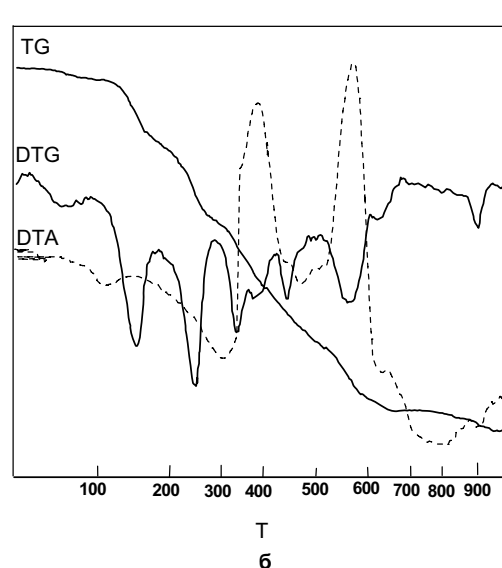


Рис. Дериватограми  $[Zn_2Cr_2(NCS)_4(Dea)_2(HDea)_2] \cdot 4\text{ДМСО}$  в атмосфері аргону (а) та на повітрі (б).



Процес термолізу ГМК на повітрі проходить дещо складніше (рис. б) і також може бути умовно поділений на три основні стадії: відщеплення молекул ДМСО; руйнування залишків дієтаноламіну; деструкція тіоціанатних груп. Як видно з рисунку, відщеплення ДМСО відбувається ступінчасто і закінчується близько  $270^\circ\text{C}$ . При подальшому нагріванні до  $420^\circ\text{C}$  відбувається відщеплення і деструкція залишків дієтаноламіну, що також проходить в декілька стадій. Друга стадія термолізу супроводжується екзотермічним ефектом в області температур  $310$ – $420^\circ\text{C}$ , який може бути обумовлений руйнуванням залишків дієтаноламіну з утворенням оксиду хрому (III). Величина цього ефекту була оцінена за рівнянням [1]:

$$\Delta H = \frac{kS}{n_i}$$

де  $k$  – коефіцієнт теплообміну,  $S$  – площа піку на кривій ДТА,  $n_i$  – кількість молів вихідної речовини.

Значення коефіцієнту теплообміну  $k$  розрахували за даними дериватографічного дослідження  $Na_2WO_4 \cdot 2H_2O$ , яке було проведено при тих же умовах, що і для  $[Zn_2Cr_2(NCS)_4(Dea)_2(HDea)_2] \cdot 4\text{ДМСО}$ . Розрахунки показали, що при  $k = 0,64$  величина екзоэффекту становить  $-576,5$  кДж/моль. Термічний розклад комплексів переходів металів з аміноспиртами може приводити до відновлення металу з утворенням металічного порошку. В даному випадку відновлення металу відсут-

не, про що свідчить значення стандартної енталпії утворення оксиду хрому (III) з металічного хрому ( $-1140$  кДж/моль) [4].

Після  $420^\circ\text{C}$  починається деструкція тіоціанатних груп, що приводить до утворення суміші, яка, за результатами рентгенофазового аналізу, містить  $47\%$   $ZnCr_2O_4$  та  $53\%$   $Cr_2O_3$ . Третя стадія процесу перебігає з екзотермічним ефектом в області температур  $460$ – $640^\circ\text{C}$ , який може бути обумовлений окисненням тіоціанатних груп та утворенням оксиду цинку. можна припустити, що деструкція тіоціанатних груп приводить до утворення сульфіду цинку, який при взаємодії з киснем повітря перетворюється в оксид. Про ймовірність такого процесу свідчать близькі значення другого екзотермічного ефекту ( $-375,8$  кДж/моль) та стандартної енталпії утворення оксиду цинку з його сульфіду ( $-442,1$  кДж/моль) [6].

**Висновки.** Таким чином, термічний розклад  $[Zn_2Cr_2(NCS)_4(Dea)_2(HDea)_2] \cdot 4\text{ДМСО}$  на повітрі приводить до утворення суміші  $ZnCr_2O_4$  та  $Cr_2O_3$ , каталітичні властивості якої досліджуються. Співставлення результатів термолізу в атмосфері аргону та на повітрі показало, що до  $270^\circ\text{C}$  вони кореляють між собою. При  $T > 270^\circ\text{C}$  такої кореляції немає із-за присутності процесів окиснення.

1. Берг, Л.Г. Введение в термографию. – М.: "Наука", 1969. 2. Давиденко, Н.А., Кокозей, В.Н., Давиденко, И.И., Нестерова, О.В., Лопух, А.Н., Спицына, Н.Г., Лобач, А.С. Электро- и фотопроводимость полимерных композитов с гетерополиядерными комплексами переходных металлов // Химическая физика. – 2007. – Т. 26, №7. С. 80-90.

3. Кокозей, В.М., Шевченко, Д.В., Нікітіна, В.М., Семенака, В.В. Пат. на корисну модель №23337, МПК C01G 1/00, C01G 37/00 (Україна). Способ прямого синтезу гетерометалічних комплексів хрому. - Опубл. 25.05.2007. - Бюл. №7. 4. Кублановський, В.С., Кокозей, В.М., Пірский, Ю.К., Шевченко, Д.В., Левчук, Я.М., Прокопчук, О.Л. Пат. №71308 А, МПК H01M 4/90, H01M 4/92 (Україна). Гетерометалічні комплекси  $[M(II)(L)][ZnCl_4]$  ( $M(II) = Cu, Ni; L = 4,6,6\text{-триметил-1,9-діаміно-3,7-діазанона-3-ен}$ ) як прекурсори для одержання електрокатализаторів відновлення кисню. - Опубл. 15.11.2004. - Бюл. №11. 5. Кублановський, В.С., Кокозей, В.М., Пірский, Ю.К., Шевченко, Д.В., Петрусенко, С.Р., Левчук, Я.М., Прокопчук, О.Л. Пат. №71307 А, МПК H01M 4/90, H01M 4/92 (Україна). гетерометалічний комплекс  $[Co(L)Cl_2][Zn(DMFA)Cl_3]$  ( $L = 4,6,6\text{-триметил-1,9-діаміно-3,7-діазанона-3-ен, DMFA = диметилформамід}$ ) як прекурсор для одержання електрокатализатора відновлення кисню. - Опубл. 15.11.2004. - Бюл. №11.

6. Кублановський, О., Ол'ко, К.Б. Металургіческая термохимия / Пер. с англ. Под ред. д.х.н. Л.А. Шварцмана. - М., "Металлургия", 1982  
7. Скопенко, В.В., Бойко А.Л., Кокозей В.М., Поліщук, В.П., Прима, О.В., Петрусенко, С.Р.. Будзанівська, І.Г. Пат. №48544 А, МПК C01G 1/00 (Україна). Хлоридний комплекс міді (II) з цинку (II) з етилендіаміном та диметилсульфоксидом, що виявляє антифітоірусну дію. - Опубл. 15.08.2002. - Бюл. №8. 8. Яворська, Н., Фурзікова, Т., Нестерова, О., Позур, В. Антимікробні властивості новосинтезованих гетеробіметалевих Cu/M ( $M = Zn, Cd$ ) комплексів з етилендіаміном // Вісн. ун-ту ім. Т.Шевченка. Біологія. - 2006. - Т. 47-48. - С. 45-47

Надійшла до редакції 22.02.08

УДК 547.759.4

О. Корольов, студ., З. Войтенко, д-р хім. наук, І. Левков, студ., Т. Єгорова, канд. хім. наук, О. Турів, д-р хім. наук, О. Шишкін, д-р хім. наук, Р. Зубатюк, канд. хім. наук, Г. Паламарчук, канд. хім. наук

## СИНТЕЗ ТА ВИВЧЕННЯ РЕАКЦІЙНОЇ ЗДАТНОСТІ ПОХІДНИХ ІЗОІНДОЛО[2,1-А]БЕНЗІМІДАЗОЛУ В УМОВАХ РЕАКЦІЙ ЦИКЛОПРИЄДНАННЯ

**Вивчено взаємодію похідних ізоіндоло[2,1-а]бензімідазолу з малеїнімідами. Синтезовано ряд аддуктів, які було вивчено за допомогою спектроскопії ЯМР:  $^1H$ ,  $^{13}C$  та COSY, рентгеноструктурного дослідження.**

**Reaction of isoindolo[2,1-a]benzimidazoles with maleimides was studied. Obtained adducts were studied with NMR  $^1H$ ,  $^{13}C$ , and COSY spectroscopy techniques, X-Ray.**

**Вступ.** При дослідженні взаємодії конденсованих ізоіндолов з діенофілами були відкриті нові перегрупування [5; 6; 7]. Вивчення літературних даних, зокрема, результатів робіт, які проведенні на нашій кафедрі, показало, що в залежності від ступеня спряження ізоіндольного фрагменту з іншою частиною молекули кардинально змінюються напрямок реакції. Система ізоіндоло-бензімідазолу, в цьому плані, займає проміжне положення між делокалізованою загальною  $18\pi$ -електронною системою та локалізованою  $10\pi$ -електронною системою ізоіндольного фрагменту [2], що робить її дуже зручною для вивчення механізму і можливості зміни напрямку реакції, варіюючи умови реакції та вводячи нові замісники.

**Об'єкти й методи дослідження.** Вихідні сполуки 4a, 4b, 4c одержані аналогічно до відомих методик [1; 3; 4]. Контроль перебігу реакції здійснюється методом тонкошарової хроматографії (ТШХ) з використанням пластинок Silufol UV-254, як елюєнт використана система гексан : етилацетат 1:2. Спектри ядерного магнітного резонансу (ЯМР) на ядрах  $^1H$  та  $^{13}C$  вимірюні на приладі Bruker з робочою частотою 400 МГц у різних дейтерованих розчинниках ( $CDCl_3$ ,  $DMSO-d_6$ ), внутрішній стандарт – тетраметилсілан (TMS).

**Методика експерименту.** 8-нітро-11Н-ізоіндоло[2,1-а]бензімідазол 3a. В круглодонній колбі на 25 мл розчиняють 3,86 г (0,025 моль) 4-нітро-1,2-фенілендіаміну та 4,95 г (2-бромометил)бензонітрилу (0,025 моль) в 5 мл ДМФА. Суміш нагрівають на масляній бані при 150 °C 3 години. Після охолодження з розчину випадають жовто-коричневі кристали. Осад відфільтровують, промивають ізопропанолом, сушать на повітрі. Вихід 5,1 г (67,7 %),  $t_{пл}=288$  °C

5-метил-8-нітро-11Н-ізоіндоло[2,1-а]бензімідазол-5-їй метаносульфонат 4a. В круглодонній колбі на 25 мл сусpenдують 2,27 г (0,009 моль) 5-метил-8-нітро-11Н-ізоіндоло[2,1-а]бензімідазолу у 2 мл диметилсульфату. Суміш нагрівають без розчинника при 140 °C на протязі 1 години. Осад відфільтровують, промивають діетиловим етером, сушать на повітрі. Вихід неочищеного продукту 3,21 г (95 %). При перекристалізації з ізопропілового спирту одержують 2,60 г (76 %) білих кристалів у вигляді призм,  $t_{пл}=186$  °C.

**Одержання аддуктів I типу.** 203 мг (0,5 моль) 5-метил-8-нітро-11Н-ізоіндоло[2,1-а]бензімідазол-5-їй ізопропільсульфонату та 1 моль малеїніміду розчиня-

ють при кип'ятінні у 10 мл сухого метанолу та додають 0,1 мл (0,85 моль) триетиламіну. Утворений осад відфільтровують, промивають метанолом, перекристалізовують з ізопропанолу

**Одержання аддуктів III типу.** 405 мг (1 моль) 5-метил-8-нітро-11Н-ізоіндоло[2,1-а]бензімідазол-5-їй ізопропільсульфонату та 1 моль малеїніміду за кімнатної температури розчиняють у 10 мл суміші ацетону і метанолу (1:1) та додають 0,2 мл (1,7 моль) триетиламіну. Утворений осад відфільтровують, промивають метанолом, перекристалізовують з ізопропанолу.

**Одержання аддуктів Mixhaela.**

5-метил-8-нітро-11-[3-метил-1-феніл-2,5-діоксопіролідин]-11Н-ізоіндоло[2,1-а]бензімідазол-5-їй метаносульфонат 6a. 188 мг (0,5 моль) 5-метил-8-нітро-11Н-ізоіндоло[2,1-а]бензімідазол-5-їй метаносульфонату та 93 мг (0,5 моль) 4-метил-N-фенілмалеїніміду розчиняють у 10 мл сухого метанолу, додають 0,1 мл (0,85 моль) триетиламіну. Через декілька хвилин випадає жовтий кристалічний осад. Його відфільтровують, кип'ятять з 10 мл метанолу, сушать на повітрі. Вихід 103 мг (37 %)  $t_{пл}=210$  °C (3 розкл.).

5-метил-8-ніtro-11-[4-метил-1-феніл-2,5-діоксопіролідин]-ізоіндоло[2,1-а]бензімідазол 6b. Фільтрат та метаноліні витяжки після синтезу 6a об'єднують та упарюють у вакуумі. Твердий залишок хроматографують на силікагелі у системі гексан:етилацетат (1:2), відділяють фракцію з  $R_f=0.5$ . Вихід 43 мг (19 %)  $t_{пл}=237$  °C.

За  $^1H$  ЯМР (400 МГц,  $DMSO-d_6$ ): 5,36 м.д. (с.,  $2H, CH_2$ ), 7,55-8,5 м.д. (м.,  $7H, Ar-H$ ).

3b  $^1H$  ЯМР (400 МГц,  $CDCl_3$ ): 3,88 м.д. (с.,  $3H, OCH_3$ ), 5,01 м.д. (с.,  $2H, CH_2$ ), 6,91-8,0 м.д. (м.,  $7H, Ar-H$ ).

3c  $^1H$  ЯМР (400 МГц,  $DMSO-d_6$ ): 5,26 м.д. (с.,  $2H, CH_2$ ), 7,17-8,34 м.д. (м.,  $7H, Ar-H$ ).

4a  $^1H$  ЯМР (400 МГц,  $DMSO-d_6$ ): 3,33 м.д. (с.,  $3H, OCH_3$ ), 4,44 м.д. (с.,  $3H, N-CH_3$ ), 5,77 м.д. (с.,  $2H, CH_2$ ), 7,79-9,09 м.д. (м.,  $7H, Ar-H$ ).

5a  $^1H$  ЯМР (400 МГц,  $CDCl_3$ ): 2,37 м.д. (д.д.,  $J_1=18.2$  Гц,  $J_2=5.3$  Гц,  $1H, H_c$ ), 2,8 м.д. (д.д.,  $J_1=18.2$  Гц,  $J_2=6.7$  Гц,  $1H, H_c$ ), 2,96 м.д. (д.д.,  $J_1=18.2$  Гц,  $J_2=9.5$  Гц,  $1H, H_d$ ), 3,05 м.д. (д.д.,  $J=21.5$  Гц,  $1H, H_a$ ), 3,23 м.д. (д.д.,  $J=21.5$  Гц,  $1H, H_a$ ), 3,26 м.д. (д.д.,  $J=21.5$  Гц,  $1H, H_b$ ), 3,4 м.д. (д.д.,  $J=21.5$  Гц,  $1H, H_a$ ), 3,55 м.д. 3,58 м.д. 3,64 м.д. 3,68 м.д. (с.,  $3H, N-CH_3$ ), 3,73 м.д. (д.д.,  $J=21.5$  Гц,  $1H, H_b$ ), 3,95 м.д. (д.д.,  $J=21.5$  Гц,  $1H, H_b$ ), 4,06 м.д. (т.,  $J=8.1$  Гц,  $1H, H_e$ ), 4,16 м.д. (д.д.,  $J_1=6.7$ ,  $J_2=9.5$